

Starkniederschlagshöhen und -spenden gemäß KOSTRA-DWD-2010R

Auswertungszeitraum von 1951 - 2010, Januar - Dezember

Rasterfeld: 44004

Zeile: 44

Spalte: 4

Seite: 1/2

| Dauerstufe D | | Wiederkehrzeit T | | | | | | | | | | | | | | | | | |
|--------------|-----|------------------|------------|------|------------|------|------------|------|------------|------|------------|------|------------|------|------------|------|------------|-------|------------|
| | | 1 a | | 2 a | | 3 a | | 5 a | | 10 a | | 20 a | | 30 a | | 50 a | | 100 a | |
| min | Std | mm | l / (s ha) | mm | l / (s ha) | mm | l / (s ha) | mm | l / (s ha) | mm | l / (s ha) | mm | l / (s ha) | mm | l / (s ha) | mm | l / (s ha) | mm | l / (s ha) |
| 5 | | 4,6 | 153,3 | 6,2 | 206,7 | 7,2 | 240,0 | 8,4 | 280,0 | 10,0 | 333,3 | 11,7 | 390,0 | 12,6 | 420,0 | 13,8 | 460,0 | 15,5 | 516,7 |
| 10 | | 7,3 | 121,7 | 9,3 | 155,0 | 10,4 | 173,3 | 11,9 | 198,3 | 13,9 | 231,7 | 15,8 | 263,3 | 17,0 | 283,3 | 18,4 | 306,7 | 20,4 | 340,0 |
| 15 | | 9,1 | 101,1 | 11,3 | 125,6 | 12,6 | 140,0 | 14,2 | 157,8 | 16,4 | 182,2 | 18,6 | 206,7 | 19,9 | 221,1 | 21,5 | 238,9 | 23,7 | 263,3 |
| 20 | | 10,4 | 86,7 | 12,7 | 105,8 | 14,1 | 117,5 | 15,9 | 132,5 | 18,3 | 152,5 | 20,6 | 171,7 | 22,0 | 183,3 | 23,8 | 198,3 | 26,1 | 217,5 |
| 30 | | 12,1 | 67,2 | 14,7 | 81,7 | 16,3 | 90,6 | 18,2 | 101,1 | 20,9 | 116,1 | 23,5 | 130,6 | 25,1 | 139,4 | 27,0 | 150,0 | 29,7 | 165,0 |
| 45 | | 13,5 | 50,0 | 16,5 | 61,1 | 18,2 | 67,4 | 20,4 | 75,6 | 23,3 | 86,3 | 26,3 | 97,4 | 28,0 | 103,7 | 30,2 | 111,9 | 33,1 | 122,6 |
| 60 | | 14,4 | 40,0 | 17,6 | 48,9 | 19,5 | 54,2 | 21,8 | 60,6 | 25,0 | 69,4 | 28,2 | 78,3 | 30,1 | 83,6 | 32,4 | 90,0 | 35,6 | 98,9 |
| 90 | | 16,0 | 29,6 | 19,5 | 36,1 | 21,5 | 39,8 | 24,1 | 44,6 | 27,6 | 51,1 | 31,1 | 57,6 | 33,1 | 61,3 | 35,7 | 66,1 | 39,2 | 72,6 |
| 120 | 2 | 17,2 | 23,9 | 20,9 | 29,0 | 23,1 | 32,1 | 25,9 | 36,0 | 29,6 | 41,1 | 33,3 | 46,3 | 35,5 | 49,3 | 38,3 | 53,2 | 42,0 | 58,3 |
| 180 | 3 | 19,0 | 17,6 | 23,1 | 21,4 | 25,5 | 23,6 | 28,6 | 26,5 | 32,7 | 30,3 | 36,8 | 34,1 | 39,2 | 36,3 | 42,2 | 39,1 | 46,3 | 42,9 |
| 240 | 4 | 20,5 | 14,2 | 24,9 | 17,3 | 27,4 | 19,0 | 30,7 | 21,3 | 35,0 | 24,3 | 39,4 | 27,4 | 42,0 | 29,2 | 45,2 | 31,4 | 49,6 | 34,4 |
| 360 | 6 | 22,7 | 10,5 | 27,5 | 12,7 | 30,3 | 14,0 | 33,9 | 15,7 | 38,7 | 17,9 | 43,5 | 20,1 | 46,3 | 21,4 | 49,9 | 23,1 | 54,7 | 25,3 |
| 540 | 9 | 25,2 | 7,8 | 30,5 | 9,4 | 33,5 | 10,3 | 37,4 | 11,5 | 42,7 | 13,2 | 48,0 | 14,8 | 51,1 | 15,8 | 55,0 | 17,0 | 60,2 | 18,6 |
| 720 | 12 | 27,1 | 6,3 | 32,7 | 7,6 | 36,0 | 8,3 | 40,2 | 9,3 | 45,8 | 10,6 | 51,4 | 11,9 | 54,7 | 12,7 | 58,9 | 13,6 | 64,5 | 14,9 |
| 1080 | 18 | 30,0 | 4,6 | 36,2 | 5,6 | 39,8 | 6,1 | 44,4 | 6,9 | 50,6 | 7,8 | 56,8 | 8,8 | 60,4 | 9,3 | 64,9 | 10,0 | 71,1 | 11,0 |
| 1440 | 24 | 32,3 | 3,7 | 38,9 | 4,5 | 42,8 | 5,0 | 47,6 | 5,5 | 54,3 | 6,3 | 60,9 | 7,0 | 64,7 | 7,5 | 69,6 | 8,1 | 76,2 | 8,8 |
| 2880 | 48 | 38,5 | 2,2 | 46,0 | 2,7 | 50,4 | 2,9 | 55,9 | 3,2 | 63,4 | 3,7 | 70,9 | 4,1 | 75,3 | 4,4 | 80,8 | 4,7 | 88,3 | 5,1 |
| 4320 | 72 | 42,6 | 1,6 | 50,6 | 2,0 | 55,3 | 2,1 | 61,2 | 2,4 | 69,3 | 2,7 | 77,3 | 3,0 | 82,0 | 3,2 | 87,9 | 3,4 | 95,9 | 3,7 |

Angaben in mm: Bemessungsniederschlagswerte h(n)

Angaben in l / (s ha): Regenspende R(n) mit $R(n) = h(n) \times 1,666667 / D[\text{min}]$

Toleranzbereiche:

+/- 10 % für $1 a \leq T \leq 5 a$

+/- 15 % für $5 a < T \leq 50 a$

+/- 20 % für $50 a < T \leq 100 a$

Datenbasis: KOSTRA-DWD-2010R des Deutschen Wetterdienstes. Die Regenspende wurde auf Basis des Bemessungsniederschlags zur jeweiligen Andauer berechnet.

Für die Richtigkeit und Aktualität der Angaben wird keine Gewähr übernommen. Erstellt 07/2022.

Starkniederschlagshöhen und -spenden gemäß KOSTRA-DWD-2010R

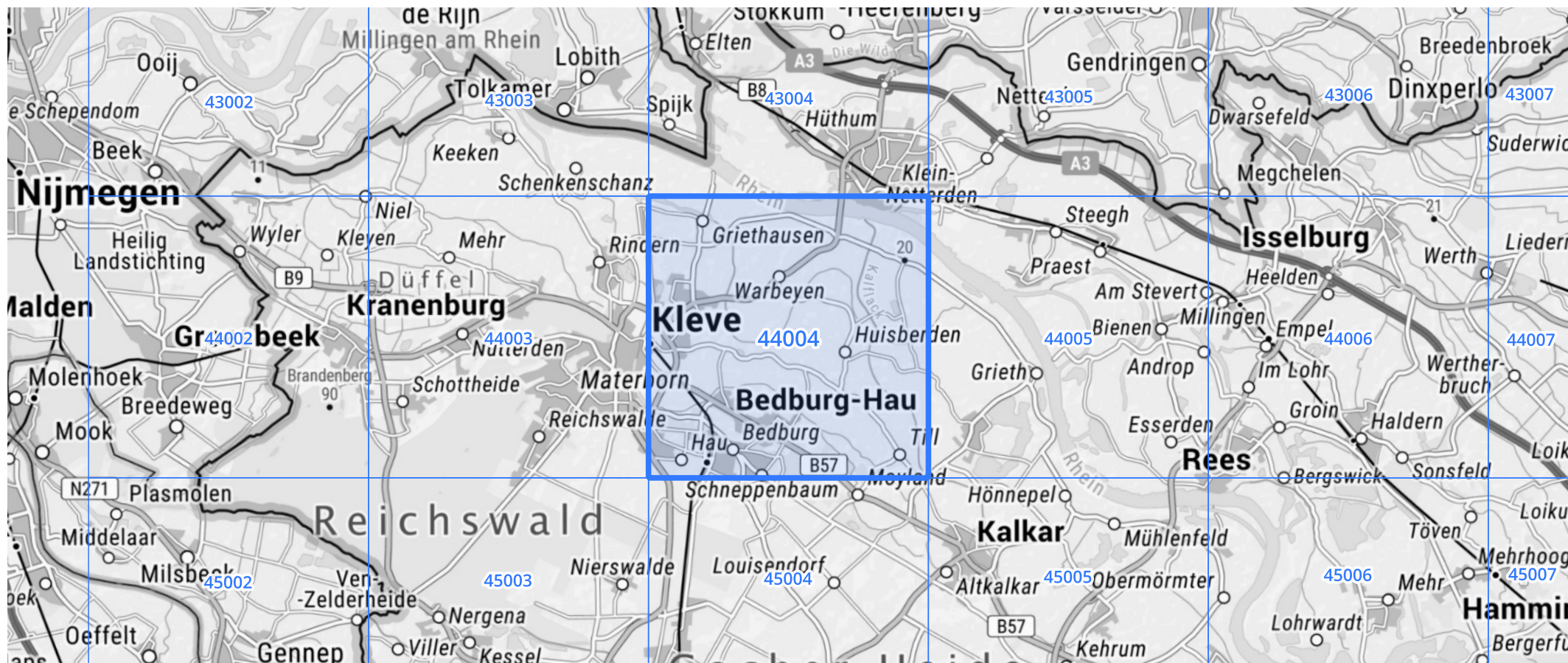
Auswertungszeitraum von 1951 - 2010, Januar - Dezember

Rasterfeld: 44004

Zeile: 44

Spalte: 4

Seite: 2/2



Quelle Rasterdaten: KOSTRA-DWD-2010R des Deutschen Wetterdienstes.

Kartendarstellung: © Bundesamt für Kartographie und Geodäsie (2022), Datenquellen: https://sgx.geodatenzentrum.de/web_public/gdz/datenquellen/Datenquellen_TopPlusOpen.html

Für die Richtigkeit und Aktualität der Angaben wird keine Gewähr übernommen. Erstellt 07/2022.